

УДК 546.786'664+546.05+543.427.34

С.В. Радио, Т.А. Каплюк, Э.С. Иванцова, Г.М. Розанцев

ГЕТЕРОПОЛИДЕКАВОЛЬФРАМОДИСПРОЗИАТ(III) НАТРИЯ $\text{Na}_9[\text{Dy}(\text{W}_5\text{O}_{18})_2]\cdot 30\text{H}_2\text{O}$: СИНТЕЗ, СВОЙСТВА, МИКРОМОРФОЛОГИЯ ПОВЕРХНОСТИ

Донецкий национальный университет

Определены условия синтеза гетерополидекавольфрамодиспрозиата(III) натрия $\text{Na}_9[\text{Dy}(\text{W}_5\text{O}_{18})_2]\cdot 30\text{H}_2\text{O}$ из подкисленного водного раствора вольфрамата натрия при добавлении ацетона. Методом ИК-спектроскопии установлена принадлежность аниона в составе соли к структуре Пикока-Уикли. Методом сканирующей электронной микроскопии изучена морфология поверхности гетерополисоединения, показана однофазность и установлено, что размер зерен порошка $\text{Na}_9[\text{Dy}(\text{W}_5\text{O}_{18})_2]\cdot 30\text{H}_2\text{O}$ находится в пределах 130–180 нм. Методом ДТА изучен процесс термолиза гетерополисоединения. Методом ИК-спектроскопического анализа установлено, что гетерополианион $[\text{Dy}(\text{W}_5\text{O}_{18})_2]^{9-}$ в структуре сохраняется при прокаливании до 220°С. Методом РФА установлено, что продуктами термолиза $\text{Na}_9[\text{Dy}(\text{W}_5\text{O}_{18})_2]\cdot 30\text{H}_2\text{O}$ являются дивольфрамат натрия $\text{Na}_2\text{W}_2\text{O}_7$ и двойной орто-вольфрамат натрия–диспрозия $\text{Na}_{0.5}\text{Dy}_{0.5}\text{WO}_4$.

Введение

Синтез диспрозийсодержащих полиоксовоильфраматов проводят как в результате реакций самосборки из WO_4^{2-} в подкисленном водном растворе Na_2WO_4 ($\text{K}_3\text{Na}_4\text{H}_2[\text{DyW}_{10}\text{O}_{36}]\cdot 21\text{H}_2\text{O}$ [1], $\text{Na}_8[\text{Dy}_2(\text{H}_2\text{O})_{10}\text{W}_{22}\text{O}_{72}(\text{OH})_2]\cdot 49\text{H}_2\text{O}$ [2]), так и путем обменных реакций из солей с различными гетерополианионами

($\text{Na}_{22}\text{Cs}_5[\text{CsMDy}_6\text{As}_6\text{W}_{63}\text{O}_{218}(\text{H}_2\text{O})_{14}(\text{OH})_4]\cdot \text{Cl}_2\cdot n\text{H}_2\text{O}$ [3], $[\text{K}_2\{\text{Dy}(\text{H}_2\text{O})_3\}_2\{\text{As}_2\text{W}_{19}\text{O}_{68}\}\{\text{WO}_2(\text{pic})\}_2]$ (pic=2-пиколинат-ион) [4],

$\text{Na}_4\text{K}_8\{\text{Dy}(\text{CH}_3\text{COO})\text{GeW}_{11}\text{O}_{39}(\text{H}_2\text{O})_2\}\cdot 16\text{H}_2\text{O}$ [5], $[\text{C}(\text{NH}_2)_3]_{11}[\text{Dy}_2(\text{Hcit})_2(\text{AsW}_{10}\text{O}_{38})]\cdot 9\text{H}_2\text{O}$ (Hcit³⁺=цитрато-лиганд) [6]). Интерес к синтезу данных соединений вызван наличием у них фотолюминесцентных, фотокаталитических и магнитных свойств [3,5–8].

В данной работе представлены итоги синтеза и изучения свойств ранее неописанного гетерополисоединения $\text{Na}_9[\text{Dy}(\text{W}_5\text{O}_{18})_2]\cdot 30\text{H}_2\text{O}$ с анионом со структурой Пикока-Уикли. Разработанная в работе методика синтеза позволила получить среднюю соль, что может позволить в дальнейшем выделять соли $\text{Na}_9[\text{Ln}(\text{W}_5\text{O}_{18})_2]\cdot n\text{H}_2\text{O}$ с другими Ln-гетероатомами.

Экспериментальная часть

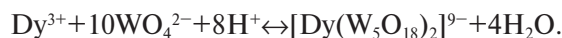
Характеристика и стандартизация исходных веществ

Раствор вольфрамата натрия Na_2WO_4 готовили растворением $\text{Na}_2\text{WO}_4\cdot 2\text{H}_2\text{O}$ «ч.д.а.» в дистиллированной воде. Точную концентрацию ($C_w=0,4953$ моль/л) устанавливали гравиметрически (в форме WO_3 , $\delta=0,5\%$) по описанной в [9] методике. Раствор азотной кислоты ($C=$

=0,4832 моль/л) готовили из концентрированной HNO_3 «х.ч.». Точную концентрацию устанавливали титрованием навески тетрабората натрия (индикатор метиловый красный) ($\delta=0,5\%$) [10]. Для стандартизации использовали перекристаллизованный декагидрат тетрабората натрия $\text{Na}_2\text{B}_4\text{O}_7 \cdot 10\text{H}_2\text{O}$ (ч), содержание воды в котором устанавливали гравиметрически по потере массы после изотермического прокаливания (500°C) [10]. Раствор $\text{Dy}(\text{NO}_3)_3$, ($\text{C}=0,1787$ моль/л) готовили растворением Dy_2O_3 (ДИО-Ч ТУ 48-4-524-90) в HNO_3 . Избыток HNO_3 удаляли двукратным выпариванием до мокрого осадка, который растворяли в дистиллированной воде. Концентрацию $\text{Dy}(\text{III})$ устанавливали прямым комплексонометрическим титрованием раствором трилона Б «ч.д.а.» в ацетатном буферном растворе с $\text{pH}=5,5$ (74,8 г $\text{CH}_3\text{COONa} \cdot 3\text{H}_2\text{O}$ «ч.д.а.», 1 фиксанал CH_3COOH) (индикатор ксиленоловый оранжевый) ($\delta=0,8\%$) [11]. Для выделения гетерополидекавольфрамодиспрозиата(III) натрия использовали ацетон $\text{CO}(\text{CH}_3)_2$ «ч.д.а.».

Методика синтеза соли

Синтез $\text{Na}_9[\text{Dy}(\text{W}_5\text{O}_{18})_2] \cdot 30\text{H}_2\text{O}$ проводили следующим образом. К 56,08 мл дистиллированной воды добавляли раствор Na_2WO_4 (20,19 мл, $\text{C}=0,4953$ моль/л) и по каплям при интенсивном перемешивании приливали раствор HNO_3 (16,56 мл, $\text{C}=0,4832$ моль/л). Далее очень медленно по каплям при интенсивном перемешивании прибавляли раствор $\text{Dy}(\text{NO}_3)_3$ (7,17 мл, $\text{C}=0,1395$ моль/л). Следует отметить, что следующую каплю раствора нитрата диспрозия прибавляли только после исчезновения опалесценции после добавления предыдущей капли. Внесение указанных реагентов соответствует стехиометрии протекания реакции образования гетерополидекавольфрамодиспрозиат(III)-аниона [1,12,13]:



С целью выделения образующегося аниона в осадок в составе соли к раствору добавляли 100 мл ацетона «ч.д.а.». После этого раствор с образовавшимся продуктом плотно закрывали и оставляли на 3 суток при 6°C , что способствовало формированию игольчатого кристаллического осадка.

Методика химического анализа солей

Химический анализ выделенных солей проводили по следующей методике. Вначале точные навески (по $\sim 0,2000$ г) воздушно-сухих образцов кипятили в смеси концентрированных HCl и HNO_3 (15 и 5 мл соответственно) для перевода вольфрама в нерастворимый гидратированный желтый триоксид $\text{WO}_3 \cdot x\text{H}_2\text{O}$ и частичного отделения его от натрия и диспрозия. Для

полного отделения натрия и диспрозия после упаривания к мокрому осадку добавляли 10 мл HNO_3 и выпаривали на водяной бане практически досуха. Затем приливали 70 мл дистиллированной воды и упаривали на водяной бане до 40 мл. После этого осадок $\text{WO}_3 \cdot x\text{H}_2\text{O}$ отфильтровывали через беззольный фильтр «синяя лента», промывали 3%-м раствором HNO_3 , высушивали и прокаливали до гравиметрической формы WO_3 при 800°C ($\delta=0,5\%$) [9]. В полученном фильтрате затем определяли содержание Dy^{3+} и Na^+ .

Для определения содержания $\text{Dy}(\text{III})$ использовали прямое комплексонометрическое титрование [11]. Для этого фильтрат упаривали почти досуха, добавляли дистиллированную воду до конечного объема 100 мл и отбирали аликвоту (1,00 мл) для определения содержания натрия. Оставшийся раствор выпаривали до 20 мл и приливали 30 мл ацетатного буферного раствора ($\text{pH}=5,5$). После этого проводили титрование раствором трилона Б. Точку эквивалентности фиксировали визуально по изменению окраски индикатора ксиленолового оранжевого с розовой на желтую. Содержание натрия в фильтрате определяли атомно-абсорбционной спектроскопией (ААС «Сатурн-3», пламя ацетилен-воздух, аналитическая линия 589,0 нм, источник резонансного излучения – высокочастотная безэлектродная лампа ВСБ-2, $I=70$ мА).

Содержание воды в солях определяли прокаливанием точных навесок (по 0,1500 г) воздушно-сухих образцов при 550°C ($\delta=0,5\%$).

Инструментальные методы исследования

ИК-спектроскопический анализ

Для идентификации аниона в составе синтезированной соли был использован ИК-спектроскопический анализ. ИК-спектры воздушно-сухого образца соли и продуктов термолиза (220 и 250°C) записывали на ИК-спектрометре с преобразователем Фурье FTIR Spectrum BXII (Perkin-Elmer) в области волновых чисел 400 – 4000 cm^{-1} . Для этого навески образцов 0,0030 г перетирали с 0,6000 г монокристаллического КВг и спрессовывали в тонкие диски.

Для изотермического прокаливания $\text{Na}_9[\text{Dy}(\text{W}_5\text{O}_{18})_2] \cdot 30\text{H}_2\text{O}$ при 220 и 250°C использовали сушильный шкаф СНОЛ-3,5,3,5,3,5/3,5И2 (точность поддержания температуры $\pm 2^\circ\text{C}$). Образцы выдерживали при данных температурах в течение часа, после чего проводили регистрацию ИК-спектров с образцов, таблетированных в КВг.

Рентгенофазовый анализ (РФА) методом порошка проводили на рентгенодифрактометре ДРОН-3 (CuK_α -излучение, Ni-фильтр). Дифрактограммы записывали в областях брэгговских углов $6^\circ < 2\theta < 66^\circ$.

Микроскопический анализ

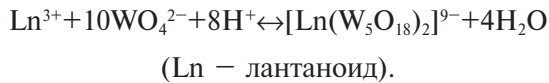
Микроскопические исследования проводили методом сканирующей электронной микроскопии (SEM) на микроскопе JSM-6490LV (JEOL). Съемка проводилась для воздушно-сухого образца, нанесенного на токопроводящий графитовый скотч в режиме обратно рассеянных электронов (BES) при элементном анализе фаз, входящих в состав образца, и в режиме вторичных электронов (SEI) при изучении поверхности полученной соли. При проведении микроскопических исследований был выполнен элементный анализ с использованием энергодисперсионного рентгеновского спектрометра INCA PentaFETx3 (OXFORD Instruments).

Дифференциальный-термический анализ

Дифференциальный-термический анализ (DTA) проводили на дериватографе Q1500D в режиме линейного повышения температуры в диапазоне 25–700°C. Скорость повышения температуры составляла 5°C/мин, образцы находились в керамическом тигле без крышки.

Результаты и их обсуждение

Кислотность $Z=v(\text{H}^+)/v(\text{WO}_4^{2-})=0,80$ в присутствии стехиометрических количеств реагирующих ионов соответствует образованию гетерополидекавольфрамолантанидат(III)-анионов [1, 12,13]:



Для выделения таких частиц с ионами Dy(III) в качестве гетероатома был использован 0,1 М раствор Na_2WO_4 , подкисленный до $Z=0,80$, в который по каплям добавляли раствор $\text{Dy}(\text{NO}_3)_3$ при тщательном перемешивании. После сливания компонентов в стехиометрическом соотношении Dy:W=1:10 к системе прибавляли ацетон (до 50 об.%) и наблюдали образование игольчатого кристаллического осадка. Выход целевого продукта составил ~91%; потеря ~9%,

скорее всего, связана с растворимостью соли при промывании осадка смесью вода:ацетон (1:1) при его отделении от маточного раствора. По результатам химического (табл. 1) и ИК-спектроскопического анализа (рис. 1, табл. 2) выделенному осадку приписана формула



Как отмечается в [14], большинство известных в данный момент полиоксометаллатов синтезируют методом самосборки в растворах. Это особый тип синтеза, когда в системе одновременно протекает несколько разных реакций между разными реагентами (как правило, моноядерными исходными веществами), приводя к получению конечного продукта повышенной структурной сложности. Направление процессов часто определяется тонкими различиями в строении и реакционной способности интермедиатов. Кроме того, в определении преимущественного направления процесса исключительно большую роль играет комплементарность фрагментов, из которых строится конечный продукт. В нашем случае, самосборка из WO_4^{2-} и Dy^{3+} в подкисленном водном растворе приводит к формированию гетерополианиона $[\text{Dy}(\text{W}_5\text{O}_{18})_2]^{9-}$, в котором ион лантаноида координирует два тетрадентатных пентавольфрамат-аниона $[\text{W}_5\text{O}_{18}]^{6-}$, являющихся лакунарными производными аниона со структурой Линдквиста.

Характер валентных и деформационных колебаний в каркасе Вольфрам-Кислород в ИК-спектре воздушно-сухого образца соли (рис. 1, табл. 2) свидетельствует о наличии в ее составе гетерополианиона 10-го ряда со структурой Пикока-Уики – $[\text{Dy}(\text{W}_5\text{O}_{18})_2]^{9-}$ [15,16].

Следует отметить, что на сегодняшний день известны две методики синтеза гетерополидекавольфрамолантанидатов(III). Первая предложена в 1971 году Peacock R.D. и Weakley T.J.R.

Таблица 1

Результаты химического анализа соли

Результаты химического анализа		Выход	Цвет	Na_2O	Dy_2O_3	WO_3	H_2O
Найдено, мас.%		91 %		8,3	5,5	69,6	16,2
Вычислено для $\text{Na}_9[\text{Dy}(\text{W}_5\text{O}_{18})_2]\cdot 30\text{H}_2\text{O}$, мас.%			Белый	8,39	5,61	69,74	16,26

Таблица 2

Частоти коливань поглинання в ІЧ-спектрах солей з аніоном $[\text{X}(\text{W}_5\text{O}_{18})_2]^{9-}$

X	$\delta(\text{W}-\text{O}-\text{W})$	$v(\text{W}-\text{O}-\text{W})$						$v(\text{W}=\text{O})$	
Dy	422	492	544	582	718	797	849	934	
Dy*		482	547	582	705	797	846	934	
Er*		494	547	583	710	798	852	931	
Y**	422	490	547	615	707	782	845	940	

Примечание: Dy – синтезированная в данной работе соль $\text{Na}_9[\text{Dy}(\text{W}_5\text{O}_{18})_2]\cdot 30\text{H}_2\text{O}$; Dy*, Er* – соли $\text{Na}_7\text{H}_2[\text{Ln}(\text{W}_5\text{O}_{18})_2]\cdot n\text{H}_2\text{O}$ [15]; Y** – соль $\text{Na}_9[\text{Y}(\text{W}_5\text{O}_{18})_2]\cdot 35\text{H}_2\text{O}$ [16].

[12], именем которых и назван гетерополианион $[X(W_5O_{18})_2]^{9-}$. Она заключается в подкислении раствора Na_2WO_4 уксусной кислотой до $pH=7,0-7,2$ и добавлении растворов нитратов либо хлоридов лантаноидов при $T=90^\circ C$ при тщательном перемешивании. При этом получение кристаллического осадка происходит либо при медленной кристаллизации при комнатной температуре, либо при охлаждении раствора до $5^\circ C$. Но во всех случаях полученные в [12] соли являлись кислыми $M_7H_2[Ln(W_5O_{18})_2]\cdot nH_2O$ ($M=K, Cs, CH_6N_3; Ln=Ce, Y, La, Pr, Nd, Sm, Eu, Ho, Er, Yb; n=8-17$). Вторая методика заключается в создании в растворе необходимого pH введением ацетатного буферного раствора и добавлением нитрата таллия. По данной методике в [13] удавалось целенаправленно выделять соли с необходимым числом протонов $Tl_{(9-n)}H_n[Ho(W_5O_{18})_2]\cdot mH_2O$ ($n=2-4; m=7-9$). Таким образом, разработанная в данной работе методика получения гетерополидекавольфрамодиспрозиата(III) натрия является новой и отличается тем, что позволяет синтезировать среднюю соль с гетерополианионом со структурой Пикока–Уикли.

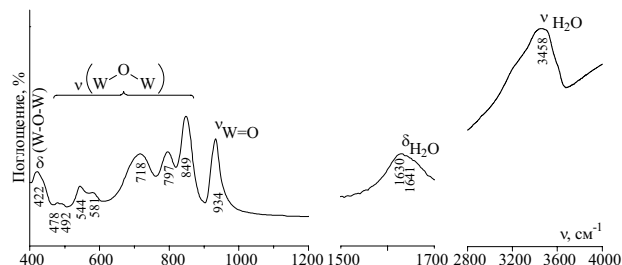


Рис. 1. ИК-спектр $Na_9[Dy(W_5O_{18})_2]\cdot 30H_2O$

В процессе термолиза $Na_9[Dy(W_5O_{18})_2]\cdot 30H_2O$ на дериватограмме (рис. 2) фиксируется несколько температурных областей потери массы: $35-60-75^\circ C$, $90-125-155^\circ C$, $160-2200^\circ C$. На кривой DTA наблюдаются эндо-эффекты при $T=35-60-75$, $90-125-155$, $160-220$, 460 , $658^\circ C$ и экзо-эффект при $T=355-360^\circ C$. Эндо-эффекты в области $T=35-220^\circ C$ сопровождаются потерей массы, что обусловлено процессом дегидратации соединения.

Количество моль H_2O , которое теряется на разных этапах дегидратации, приведено в табл. 3.

Таблица 3

Результаты дифференциально-термического анализа
 $Na_9[Dy(W_5O_{18})_2]\cdot 30H_2O$

Температура, $^\circ C$	Количество потерянной воды, моль/1 моль $Na_9[Dy(W_5O_{18})_2]\cdot 30H_2O$
35–60–75	10
90–125–155	15
160–220	5

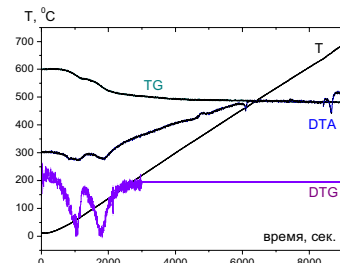


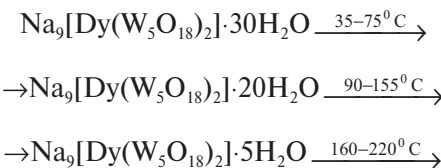
Рис. 2. Дериватограмма $Na_9[Dy(W_5O_{18})_2]\cdot 30H_2O$:
Кривые: T – температуры; TG – термогравиметрическая;
DTG – дифференциальная термогравиметрическая;
DTA – дифференциально-термического анализа

Из кривых TG и DTG (рис. 2) можно видеть, что потеря массы наблюдается до температуры $220^\circ C$, дальнейшее нагревание приводит к появлению экзо-эффекта на кривой DTA ($355-360^\circ C$) который соответствует кристаллизации фаз дивольфрамата натрия $Na_2W_2O_7$ и ортовольфрамата натрия–диспрозия $Na_{0.5}Dy_{0.5}WO_4$, рефлексы которых фиксируются на дифрактограмме продуктов термолиза (рис. 3).

Был проведен РФА кристаллического осадка $Na_9[Dy(W_5O_{18})_2]\cdot 30H_2O$, но сопоставить полученную дифрактограмму (рис. 3,а) с аналогом из картотеки ICDD [17] не удалось, поскольку подобная фаза отсутствует в указанной базе данных. На дифрактограмме продуктов термолиза (2 ч, $500^\circ C$) фиксируются рефлексы фаз $Na_2W_2O_7$ (ICDD PDF 01-070-0860 [17]) и $Na_{0.5}Gd_{0.5}WO_4$ (ICDD PDF 00-025-0829 [17]) (рис. 3,б). Следует добавить, что на дифрактограмме продуктов термолиза после прокаливания при более высокой температуре (2 ч, $800^\circ C$) фиксируются рефлексы тех же самых фаз, что указывает на отсутствие дальнейшего разложения либо дальнейшего взаимодействия продуктов термолиза между собой (рис. 3,в).

По результатам ИК-спектроскопического анализа можно отметить, что анион $[Dy(W_5O_{18})_2]^{9-}$ в структуре соединения остается устойчивым после прокаливания соли при $220^\circ C$ (рис. 4,а), а в продуктах прокаливания при температуре $250^\circ C$ (рис. 4,б) уже не фиксируются сильные по интенсивности полосы поглощения ($849, 797, 718 \text{ см}^{-1}$), характерные для гетерополианиона со структурой Пикока–Уикли.

Таким образом, комбинируя результаты ДТА, РФА и ИК-спектроскопии можно предложить схему термолиза для $Na_9[Dy(W_5O_{18})_2]\cdot 30H_2O$:



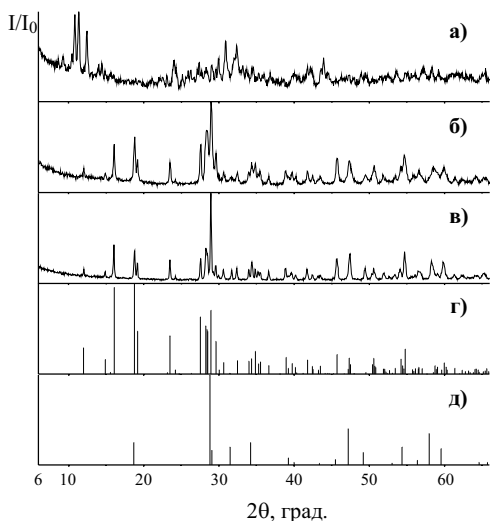
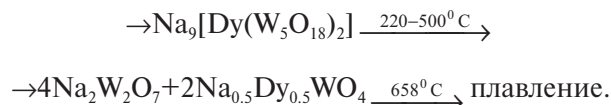
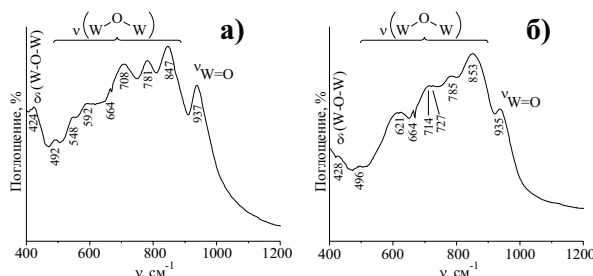


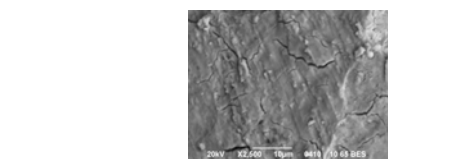
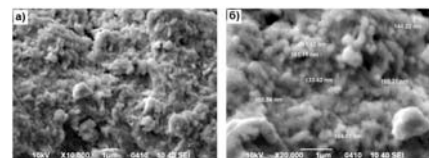
Рис. 3. Дифрактограммы: а – $\text{Na}_9[\text{Dy}(\text{W}_5\text{O}_{18})_2]\cdot 30\text{H}_2\text{O}$ (воздушно-сухой); б – продукты термолиза $\text{Na}_9[\text{Dy}(\text{W}_5\text{O}_{18})_2]\cdot 30\text{H}_2\text{O}$ (2 ч при 500°C); в – продукты термолиза $\text{Na}_9[\text{Dy}(\text{W}_5\text{O}_{18})_2]\cdot 30\text{H}_2\text{O}$ (2 ч при 800°C); г – $\text{Na}_2\text{W}_2\text{O}_7$ (ICDD PDF 01-070-0860 [17]); д – $\text{Na}_{0.5}\text{Gd}_{0.5}\text{WO}_4$ (ICDD PDF 00-025-0829 [17])



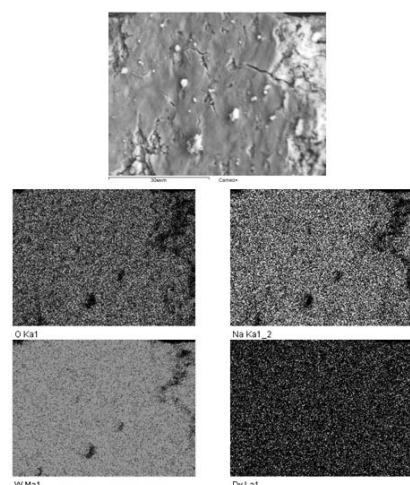
Следует отметить, что при термолизе образуется отсутствующая в картотеке ICDD фаза $\text{Na}_{0.5}\text{Dy}_{0.5}\text{WO}_4$, являющаяся изоструктурной $\text{Na}_{0.5}\text{Gd}_{0.5}\text{WO}_4$ (ICDD PDF 00-025-0829 [17]) ввиду близких ионных радиусов катионов лантаноидов [18] и положения рефлексов на дифрактограмме.

Микроскопический анализ показал, что поверхность зерен выделенной соли $\text{Na}_9[\text{Dy}(\text{W}_5\text{O}_{18})_2]\cdot 30\text{H}_2\text{O}$ имеет нечеткие размытые края. Размер зерен образца находится в пределах 130–180 нм (рис. 5).

Равномерный контраст поверхности в режиме BES свидетельствует об однофазности полученной соли (рис. 6).



На микрофотографиях порошка $\text{Na}_9[\text{Dy}(\text{W}_5\text{O}_{18})_2]\cdot 30\text{H}_2\text{O}$ в характеристическом рентгеновском излучении отсутствуют области с разной морфологией поверхности, и наблюдается равномерное распределение Dy, Na, W, O без сегрегаций и ликваций, что подтверждает однофазность продуктов (рис. 7). Видимые неоднородности объясняются различием рельефа поверхности образца.



Рентгеноспектральный микроанализ проводили в разных областях поверхности порошка с разной площадью (от $28,2 \times 43,9$ до $55,4 \times 60,7$ мкм²). Результаты элементного анализа (рис. 8, табл. 4) являются идентичными результатам классического химического анализа (табл. 1) и составляют для $\text{Na}_9[\text{Dy}(\text{W}_5\text{O}_{18})_2]\cdot 30\text{H}_2\text{O}$ мольное отношение элементов Dy:Na:W = 1,00:9,07:9,96 (вычисленное Dy:Na:W =

=1,00:9,00:10,00).

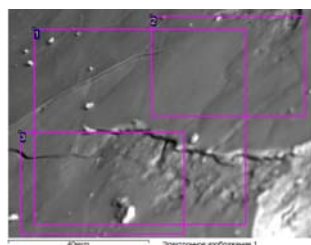


Рис. 8. SEM-изображение порошка $\text{Na}_9[\text{Dy}(\text{W}_5\text{O}_{18})_2]\cdot 30\text{H}_2\text{O}$: указаны области, в которых выполнен элементный анализ (табл. 4)

Таблица 4

Мольное отношение* элементов Dy:Na:W в разных областях порошка $\text{Na}_9[\text{Dy}(\text{W}_5\text{O}_{18})_2]\cdot 30\text{H}_2\text{O}$

	v(Dy)	v(Na)	v(W)
Теоретическое отношение	1	9,00	10,00
Область 1	1	9,08	9,94
Область 2	1	9,05	9,97
Область 3	1	9,09	9,98
Среднее значение	9,07	9,96	
Стандартное отклонение, S	0,0217	0,0161	

Примечание: * – отношение пересчитано на 1 атом Dy для упрощения.

Таким образом, в работе установлены условия образования и проведен синтез ранее неописанного гетерополисоединения $\text{Na}_9[\text{Dy}(\text{W}_5\text{O}_{18})_2]\cdot 30\text{H}_2\text{O}$, выполнены исследования его состава и свойств комплексом физико-химических и физических методов анализа – ИК-спектроскопия, РФА, ДТА, SEM.

Выходы

1. Разработаны условия синтеза гетерополисоединения $\text{Na}_9[\text{Dy}(\text{W}_5\text{O}_{18})_2]\cdot 30\text{H}_2\text{O}$ из подкисленного до $Z=0,80$ водного раствора с соотношением $n(\text{Dy}) : n(\text{W}) = 1 : 10$ действием ацетона. Методом ИК-спектроскопии показана принадлежность аниона в составе синтезированной соли к структуре Пикока-Уикли. Разработанная в работе методика получения гетерополидекавольфрамодиспрозиата(III) натрия является новой и отличается тем, что позволяет синтезировать среднюю соль, что может быть использовано для выделения средних солей с другими гетероатомами–лантаноидами.

2. Методом дифференциально-термического анализа изучен процесс термического разложения соли, а методом рентгенофазового анализа установлено, что продуктами термолиза $\text{Na}_9[\text{Dy}(\text{W}_5\text{O}_{18})_2]\cdot 30\text{H}_2\text{O}$ являются дивольфрамат натрия $\text{Na}_2\text{W}_2\text{O}_7$ и двойной ортовольфрамат натрия-диспрозия $\text{Na}_{0,5}\text{Dy}_{0,5}\text{WO}_4$.

3. Методом ИК-спектроскопии установлено, что структура гетерополианиона $[\text{Dy}(\text{W}_5\text{O}_{18})_2]^{9-}$ сохраняется устойчивой до температуры 220°C .

4. Методом сканирующей электронной мик-

роскопии показана однофазность образца, и установлено, что размер зерен $\text{Na}_9[\text{Dy}(\text{W}_5\text{O}_{18})_2]\cdot 30\text{H}_2\text{O}$ находится в пределах 130–180 нм.

Благодарности

Авторы выражают благодарность Бурховецкому В.В. (ДФТИ им. А.А. Галкина НАН Украины) за помощь в проведении микроскопических исследований. Работа выполнена в соответствии с программой фундаментальных исследований Министерства образования и науки Украины (проект № 0113U001530).

СПИСОК ЛИТЕРАТУРЫ

1. Ozeki T., Yamase T. Effect of Lanthanide Contraction on the Structure of the Decatungstolanthanoate Anions in $\text{K}_3\text{Na}_4\text{H}_2[\text{LnW}_{10}\text{O}_{36}]n\text{H}_2\text{O}$ ($\text{Ln}=\text{Pr}, \text{Nd}, \text{Sm}, \text{Gd}, \text{Tb}, \text{Dy}$) Crystals // Acta Cryst. – 1994. – Vol.B50. – P.128-134.
2. Ismail A.H., Dickman M.H., Kortz U. 22-Isopolytungstate Fragment $[\text{H}_2\text{W}_{22}\text{O}_{74}]^{14-}$ Coordinated to Lanthanide Ions // Inorg. Chem. – 2009. – Vol.48. – № 4. – P.1559-1565.
3. Caesium-templated lanthanoid-containing polyoxotungstates / F. Hussain, B. Spingler, F. Conrad et al. // Dalton Trans. – 2009. – P.4423-4425.
4. Ritchie C., Miller C.E., Boskovic C. The generation of a novel polyoxometalate-based 3D framework following picolinate-chelation of tungsten and potassium centres // Dalton Trans. – 2011. – Vol.40. – № 45. – P.12037-12039.
5. A new series of lanthanoid containing Keggin-type germanotungstates with acetate chelators: $[(\text{Ln}(\text{CH}_3\text{COO})\text{GeW}_{11}\text{O}_{39}(\text{H}_2\text{O}))]^{12-}$. ($\text{Ln}=\text{Eu(III)}, \text{Gd(III)}, \text{Tb(III)}, \text{Dy(III)}, \text{Ho(III)}, \text{Er(III)}, \text{Tm(III)}, \text{and Yb(III)}$) / Firasat H., Sandriesser S., Speldrich M. et al. // J. Solid State Chem. – 2011. – Vol.184. – № 1. – P.214-219.
6. Two dysprosium-incorporated tungstoarsenates: synthesis, structures and magnetic properties / Li F., Guo W., Xu L. et al. // Dalton Trans. – 2012. – Vol.41. – № 30. – P.9220-9226.
7. Polyoxometalate Chemistry From Topology via Self-Assembly to Applications / Eds. M.T. Pope, A. Müller. – Netherlands, Dordrecht: Kluwer Academic Publishers, 2001. – 428 p.
8. Catalytic behavior of a series of lanthanide decatungstates $[\text{Ln(III)}\text{W}_{10}\text{O}_{36}]^{9-}$; $\text{Ln}: \text{La}-\text{Yb}$ for H_2O_2 -oxidations of alcohols and olefins. Some chemical effects of the $4f^n$ -electron in the lanthanide(III) ion on the catalyses // Shiozaki R., Inagaki A., Ozaki A. et al. // J. Alloys Compounds. – 1997. – Vol.261. – № 1-2. – P.132-139.
9. Шарло Г. Методы аналитической химии. Количественный анализ неорганических соединений. – Л.: Химия, 1965. – 975 с.
10. Коростелев П.П. Приготовление растворов для химико-аналитических работ. – М.: Наука, 1964. – 400 с.
11. Шварценбах Г., Флашка Г. Комплексонометрическое титрование. – М.: Химия, 1970. – 360 с.
12. Peacock R.D., Weakley T.J.R. Heteropolytungstate Complexes of the Lanthanide Elements. Part I. Preparation and Reactions // J. Chem. Soc. A Inorg. Phys. Theor. – 1971. – P.1836-1839.
13. Rozantsev G.M., Ignatyeva V.V. Mathematical Modeling

of Equilibria and the State of Holmium Heteropolytungstate ions // Russ. J. Inorg. Chem. – 2006. – Vol.51. – № 9. – P.1509-1515.

14. Long D.-L., Tsunashima R., Cronin L. Polyoxometalates: Building Blocks for Functional Nanoscale Systems // Angew. Chem. Int. Ed. – 2010. – Vol.49. – P.1736-1758.

15. Spectroscopic investigation of a series of sodium lanthanide decatungstates, $\text{Na}_x\text{H}_2\text{Ln}(\text{III})(\text{W}_5\text{O}_{18})_2 \square n\text{H}_2\text{O}$ (Ln: La–Yb): the contribution of $4f^n$ electrons to bonding interaction among Ln(III) and polyoxotungstates / Shiozaki R., Inagaki A., Nishino A. et al. // J. Alloys Compounds. – 1996. – Vol.234. – № 2. – P.193-198.

16. Synthesis and Structural Characterization of the Yttrium Containing Isopolytungstate $[\text{YW}_{10}\text{O}_{36}]^{9-}$ / Barsukova M., Dickman M.H., Visser E. et al. // Z. Anorg. Allg. Chem. – 2008. – Vol.634. – № 12-13. – P.2423-2427.

17. Powder Diffraction File, Joint Committee on Powder Diffraction Standards, International Centre for Diffraction Data. – Newtown Square. – PA. – 2005. – 306 p.

18. Shannon R.D. Revised Effective Ionic Radii and Systematic Studies of Interatomic Distances in Halides and Chalcogenides // Acta Cryst. – 1976. – Vol.A32. – P.751-767.

Поступила в редакцию 2.07.2013